

# NP-полнота задачи поиска несамопересекающегося пути в геометрическом графе

Захар Пилипчук

## Abstract

Consider the following problem: *we are given a set of points on a plane. Some of them are connected with line segments (possibly intersecting with each other). We need to determine if there exists non self-intersecting path along the segments between specified points  $s$  and  $t$ .* We prove this problem is NP-complete.

## Аннотация

Рассмотрим следующую задачу: *на плоскости заданы точки, некоторые из них соединены отрезками (отрезкам разрешено пересекаться). Существует ли несамопересекающийся путь, следующий по отрезкам, из точки  $s$  в точку  $t$ ?* В данной работе будет доказана NP-полнота данной задачи.

## 1 Введение

**Определение 1.** *Геометрическим графом называется изображение неориентированного графа  $G$  на плоскости, в котором вершинам соответствуют точки, а рёбра изображаются отрезками. Эти отрезки, разумеется, могут пересекаться. Будем считать, что никакие 3 вершины не расположены на одной прямой.*

**Определение 2.** *Экземпляром задачи PLANARPATH является геометрический граф  $G$  и пара его вершин  $s$  и  $t$ . Требуется определить, существует ли несамопересекающийся путь из  $s$  в  $t$ .*

Главная цель данной работы — показать NP-полноту задачи PLANARPATH. Вначале мы рассмотрим задачу о пути с запрещёнными парами рёбер, являющуюся, по сути, обобщением исходной проблемы. Мы докажем её NP-полноту, после чего с помощью задачи Planar 3SAT модифицируем доказательство для PLANARPATH.

## 2 Задача о пути с запрещёнными парами рёбер

**Определение 3.** *Приведем определение одного из вариантов задачи Path avoiding forbidden pairs (PAFP) ([1, стр. 203]). Задан ориентированный*

граф  $G$ , множество  $F \subset E \times E$  (его элементы будем называть *перекрёстками*) и пара вершин  $s, t \in V$ . Требуется определить, существует ли путь из  $s$  в  $t$ , не содержащий никакой пары рёбер из  $F$ .

Оказывается, неориентированная версия этой задачи (будем называть её UPAFP) также NP-полна.

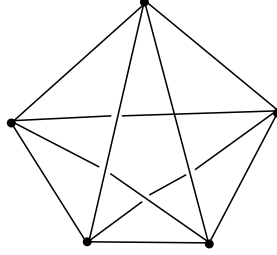


Рис. 1: Граф  $K_5$  с единственным перекрёстком.

Заметим, что PLANARPATН — это частный случай UPAFP, в котором перекрёстки задаются пересекающимися рёбрами в некотором изображении графа на плоскости. С другой стороны, UPAFP не сводится к PLANARPATН тривиальным образом. Не каждый граф со списком перекрёстков можно расположить на плоскости так, чтобы два ребра пересекались тогда и только тогда, когда они образуют перекрёсток. Простой тому пример — полный граф на пяти вершинах с пустым списком запрещённых пар, поскольку в любом его изображении найдётся пара пересекающихся рёбер в силу его непланарности.

Графы с перекрёстками можно изображать схематически. Учитывая предыдущее замечание, иногда мы вынуждены пересекать на рисунке рёбра, не образующие перекрёсток. Такое пересечение мы будем называть “мостом”. Рисунок 1 показывает полный граф на пяти вершинах с единственным перекрёстком.

Напомним содержание задачи 3SAT. Пусть  $\phi$  — формула в 3-КНФ от переменных  $x_1, \dots, x_n$  то есть формула вида

$$(\chi_1^{(1)} \vee \chi_2^{(1)} \vee \chi_3^{(1)}) \wedge \dots \wedge (\chi_1^{(m)} \vee \chi_2^{(m)} \vee \chi_3^{(m)})$$

где каждое  $\chi_i^{(j)} \in \{x_i\} \cup \{\bar{x}_i\}$  — *литерал*. Требуется определить, является ли  $\phi$  выполнимой, то есть истинна ли она при каких-нибудь значениях переменных.

**Теорема 1.** *Задача UPAFP является NP-полной.*

*Доказательство.* Доказательство будем проводить сведением 3SAT к нашей задаче. Покажем, как по формуле  $\phi$  в 3-КНФ построить такой граф с перекрёстками  $G$ , что  $\phi$  выполнима в том и только в том случае, когда в  $G$  существует путь без перекрёстков между фиксированными вершинами  $s$  и  $t$ .

Гаджет для переменной  $x$  представляет собой пару вершин, соединённых двумя путями. Эти пути мы будем называть путём для  $x$  и путём для  $\bar{x}$ . Все гаджеты переменных соединены цепочкой, начинающейся в вершине  $s$

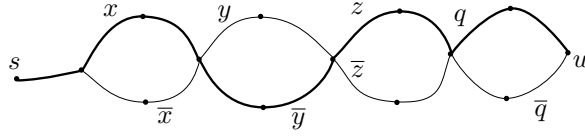


Рис. 2: Цепочка гаджетов переменных.

и заканчивающейся в вершине  $u$ . На рисунке 2 показана цепочка гаджетов для четырёх переменных.

Между всевозможными наборами значений для переменных  $x_1, \dots, x_n$  и простыми путями из вершины  $s$  в вершину  $u$  существует биекция. Истинному значению переменной  $x$  соответствует выбор пути для  $x$  при прохождении гаджета этой переменной, а ложному значению — выбор пути для  $\bar{x}$ . На том же рисунке выделен жирным путь, соответствующий выбору переменных  $x = 1, y = 0, z = 1, q = 1$ .

Гаджет для дизъюнкта  $(\chi_1 \vee \chi_2 \vee \chi_3)$  показан на рисунке 3. Здесь рёбра  $e_1, e_2$  и  $e_3$  пересекают пути *отрицаний* литералов, входящих в дизъюнкт.

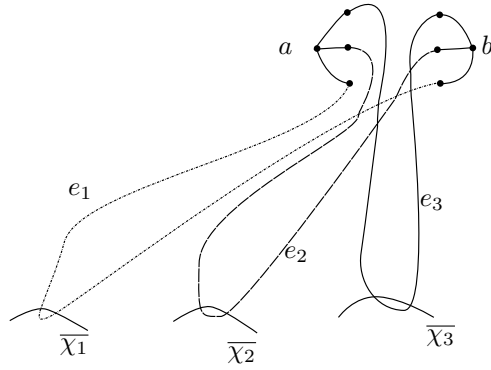


Рис. 3: Гаджет дизъюнкта.

Гаджеты дизъюнктов соединены в общую цепочку с началом в вершине  $u$  и концом в вершине  $t$ . На рисунке 4 изображён граф, построенный по формуле

$$\phi = (\bar{x} \vee \bar{y} \vee \bar{z}) \wedge (y \vee z \vee \bar{q}) \wedge (x \vee y \vee q) \quad (1)$$

Покажем, что в построенном графе путь без перекрёстков найдётся тогда и только тогда, когда исходная формула  $\phi$  выполнима. Зафиксируем участок пути от вершины  $s$  до вершины  $u$ , а значит, и некоторый набор значений переменных.

Видно, что по гаджету дизъюнкта можно пройти без перекрёстков от вершины  $a$  до вершины  $b$  тогда и только тогда, когда выбрано истинное значение хотя бы для одного из литералов, содержащихся в дизъюнкте. Значит, от  $u$  до  $t$  можно пройти без перекрёстков если и только если все дизъюнкты истинны на данном наборе значений, то есть если данный набор — выполняющий, что и требовалось доказать.

□

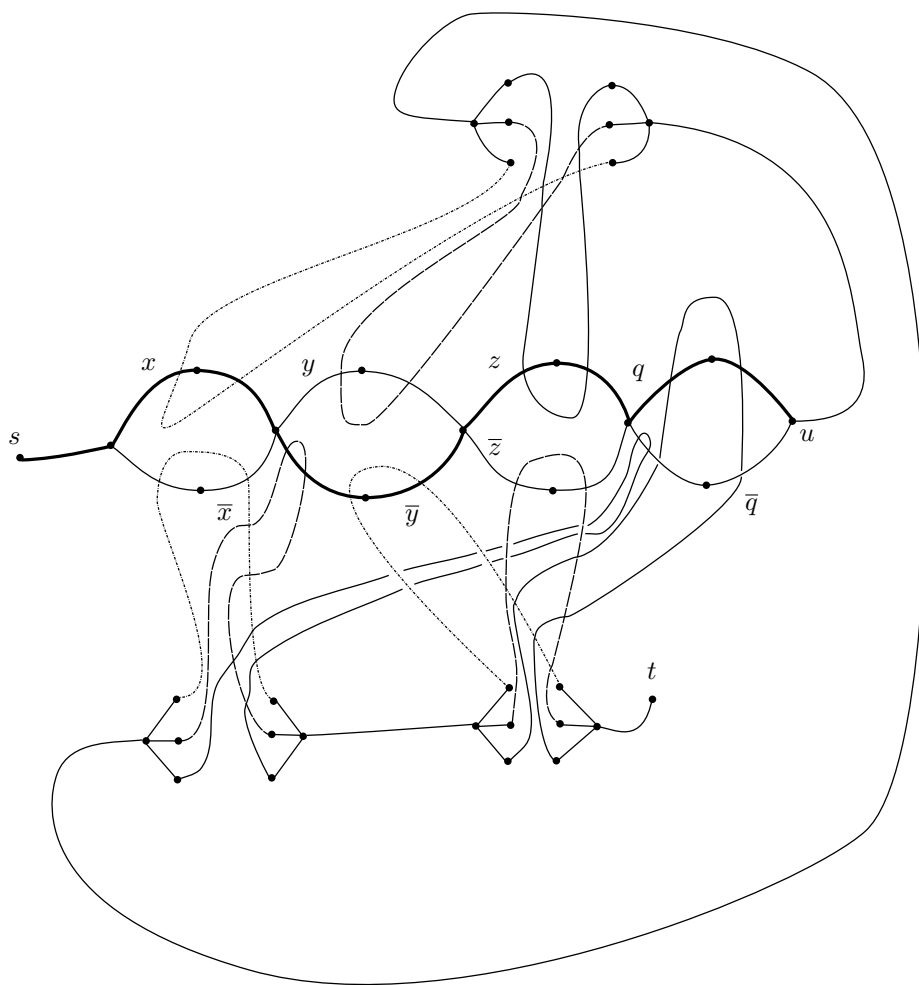


Рис. 4: Построенный граф с перекрёстками для формулы (1).

### 3 Planar 3SAT

**Определение 4.** Естественным графом формулы  $\phi$  в 3-КНФ от переменных  $x_1, \dots, x_n$  с дизъюнктами  $c_1, \dots, c_m$  называется граф  $G(\phi) = (V, E)$ , где  $V = \{x_i\} \cup \{c_j\}$ ,  $E = E_1 \cup E_2$ , где  $E_1 = \{(c_j, x_i) \mid x_i \text{ или } \bar{x}_i \text{ содержится в } c_j\}$ , а  $E_2 = \{(x_1, x_2), (x_2, x_3), \dots, (x_{n-1}, x_n), (x_n, x_1)\}$ . Иными словами, вершинами графа являются переменные и дизъюнкты; переменные соединены в цикл, а каждый дизъюнкт связан с переменными, входящими в него, в том числе с отрицанием.

На рисунке 5 изображен естественный граф для формулы (1)

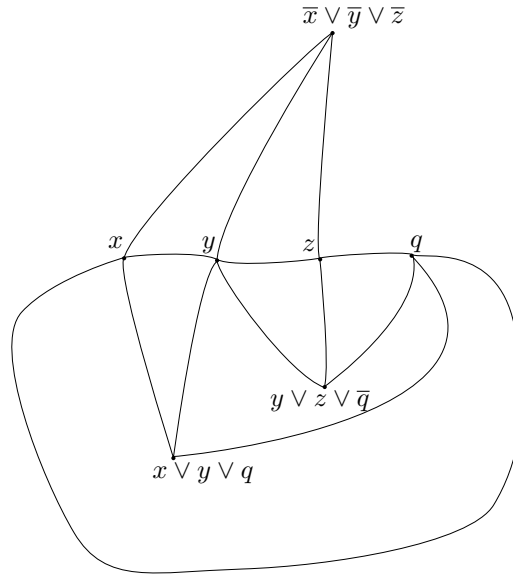


Рис. 5: Естественный граф для формулы (1).

**Определение 5.** Задача Planar 3SAT (кратко P3SAT) — это ограничение задачи 3SAT для формул с планарными естественными графами.

**Теорема 2** (Lichtenstein [2]). Задача P3SAT является NP-полной.

**Замечание.** Существуют полиномиальные алгоритмы для проверки на планарность и нахождения планарного изображения, т.е. за полиномиальное время можно проверить корректность входной формулы и построить планарное изображение её естественного графа.

Наша дальнейшая цель — изменить доказательство теоремы 1, чтобы построенный граф с перекрёстками  $G$  мог быть представлен схемой без “мостов” (ведь такая схема и будет искомым геометрическим графом, в котором наличие несамопересекающегося пути из  $s$  в  $t$  эквивалентно выполнимости формулы). В следующем разделе мы увидим, что планарность естественного графа позволяет нарисовать на плоскости гаджеты переменных и дизъюнктов без использования “мостов”, однако соединить гаджеты дизъюнктов в цепочку, не пересекающую другие рёбра, не удастся. Значит, нам потребуется поправить схему доказательства NP-полноты UPAFP для доказательства NP-полноты PLANARPATH.

## 4 NP-полнота задачи PLANARPATH

Начнём с описания новых гаджетов.

**Замечание.** Для простоты и наглядности будем изображать рёбра геометрического графа кривыми. Чтобы получить из графа с “кривыми” рёбрами геометрический граф в строгом смысле, достаточно спрямить каждое ребро, возможно, предварительно подразбив его проходными вершинами. Эта операция не влияет на существование пути.

Гаджет переменной не изменился, но в его изображении мы будем пересекать пути для переменной и её отрицания  $2t$  раз, где  $t$  — это количество дизъюнктов. Новый вид цепочки гаджетов переменных показан на рисунке 6. Зелёным цветом здесь обозначены пути для переменных, а красным — для их отрицаний; жирным выделен путь, соответствующий выбору  $x = 1, y = 0, z = 1, q = 1$ .

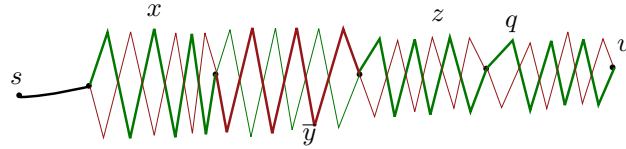


Рис. 6: Гаджеты переменных.

На рисунке 7 изображён гаджет под названием “двойная коса”. Сразу обратим внимание на то, что любые два разноцветных ребра в нём пересекаются.

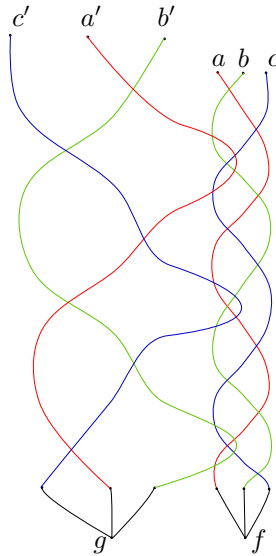


Рис. 7: “Двойная коса”.

Обновлённый гаджет дизъюнкта показан на рисунке 8. Здесь прямоугольниками обозначены “двойные косы”, рёбра  $e_1$ ,  $e_2$  и  $e_3$ , как и ранее, пересекают пути отрицаний литералов, содержащихся в дизъюнкте.

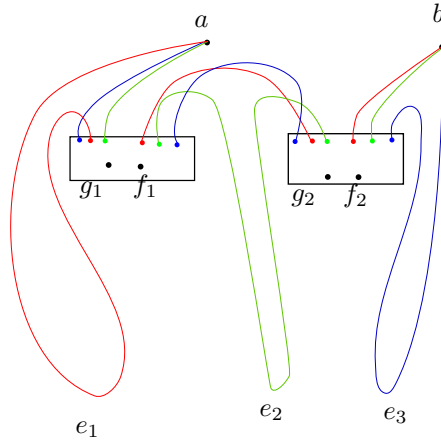


Рис. 8: Обновлённый гаджет дизъюнкта.

Гаджет дизъюнкта мы будем схематически изображать в виде восьмиугольника с тремя “хвостами”, как показано на рисунке 9.

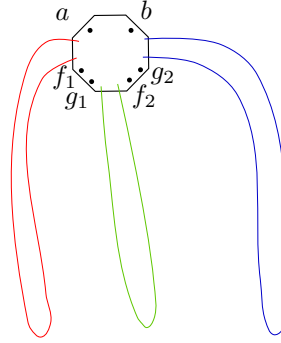


Рис. 9: Схематическое изображение гаджета дизъюнкта.

**Теорема 3.** *Задача PLANARPATH является NP-полной.*

*Доказательство.* Будем сводить к PLANARPATH задачу Planar 3SAT. Строить геометрический граф  $\mathcal{G}$ , соответствующий формуле  $\phi$ , будем по следующему алгоритму:

1. Построим планарное изображение естественного графа формулы  $\phi$ .
2. Заменим цепочку вершин, соответствующих переменным, на цепочку гаджетов переменных.
3. Заменим каждую вершину, соответствующую дизъюнкту, с тремя ребрами, выходящими из неё, на гаджет дизъюнкта с тремя “хвостами”. В силу планарности естественного графа, мы можем произвести эти построения на плоскости без использования “мостов”.

К примеру, естественный граф формулы (1) (изображён на рисунке 5) на данном этапе трансформируется в граф, показанный на рисунке 10.

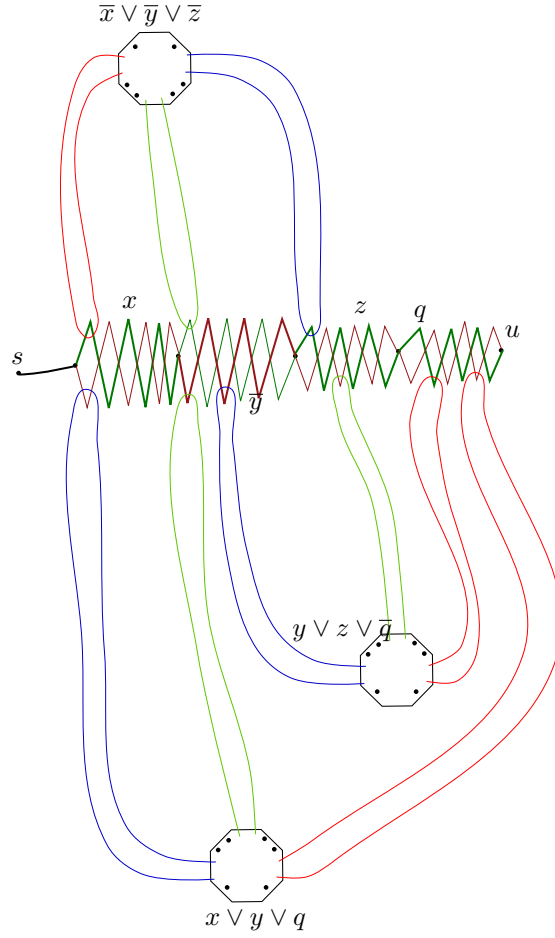


Рис. 10: Трансформированный естественный граф формулы (1).

Если вершину  $a$  гаджета какого-то дизъюнкта можно соединить с вершиной  $f_1$  или  $f_2$  гаджета другого дизъюнкта путём, не пересекающим никакие другие рёбра, то первый дизъюнкт будем называть соответственно левым или правым потомком второго дизъюнкта, а второй — родителем первого. Дизъюнкт, вершину  $a$  гаджета которого можно соединить с вершиной  $u$  путём, не пересекающим другие рёбра, назовём “корневым”. Ясно, что каждый дизъюнкт либо имеет родителя, либо является корневым. Так, на рисунке 10 дизъюнкты  $\bar{x} \vee \bar{y} \vee \bar{z}$  и  $x \vee y \vee q$  — корневые, а  $y \vee z \vee \bar{q}$  является потомком дизъюнкта  $x \vee y \vee q$ .

Продолжим построение:

4. Соединим гаджеты корневых дизъюнктов цепочкой, начинающейся в вершине  $u$  и оканчивающейся в вершине  $t$ .
5. Вершины  $f_1$  и  $g_1$  гаджета каждого дизъюнкта соединим цепочкой, проходящей через гаджеты всех левых потомков этого дизъюнкта (если левых потомков нет, просто соединяем  $f_1$  и  $g_1$ ); аналогично,  $f_2$  и  $g_2$  соединим цепочкой, проходящей через гаджеты правых потомков.



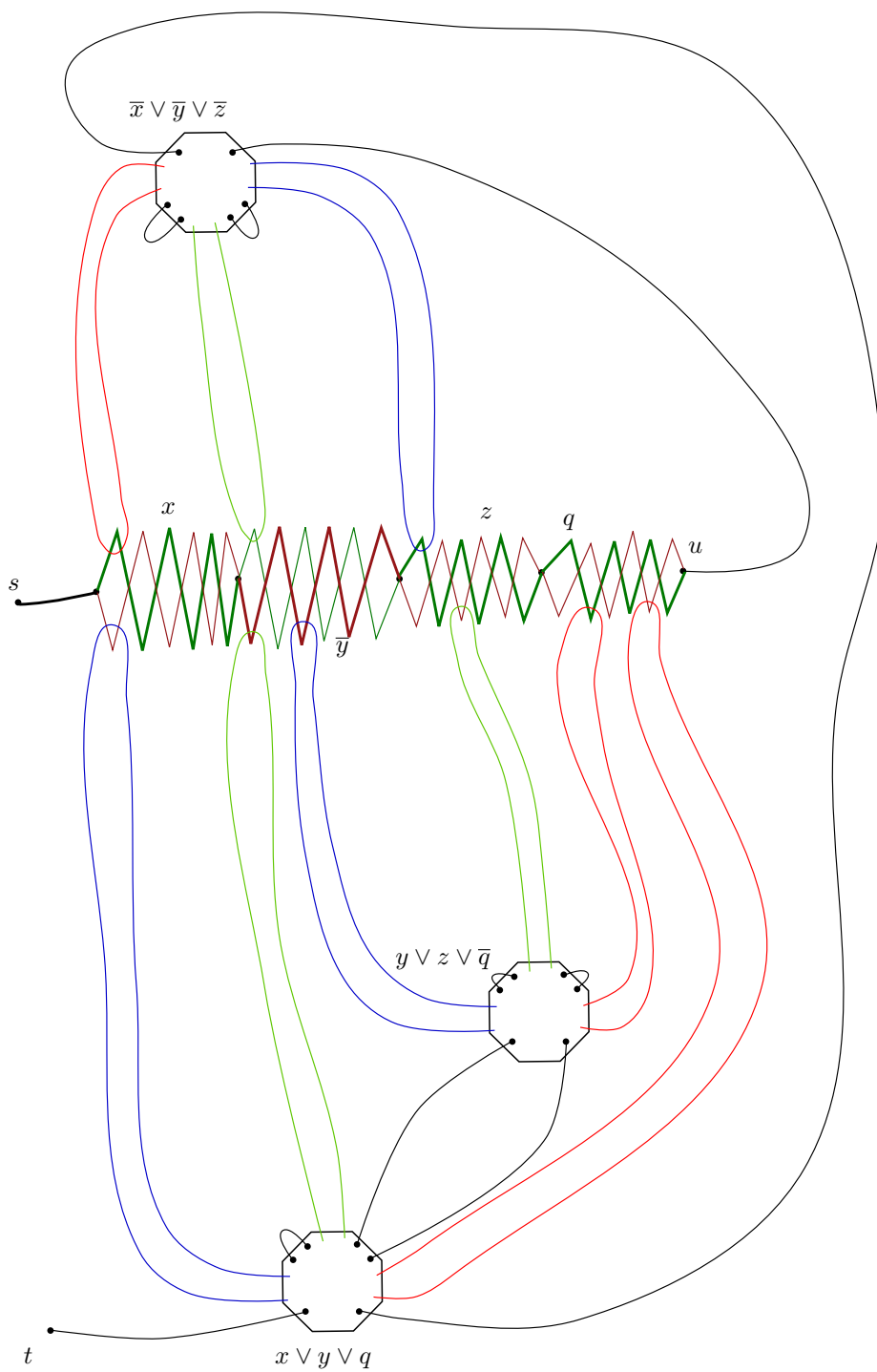


Рис. 11: Геометрический граф, построенный по формуле (1).

На рисунке 11 показан геометрический граф, построенный по формуле (1).

Покажем, что в полученном графе есть самонепересекающийся путь из  $s$  в  $t$  если и только если у формулы  $\phi$  есть выполняющий набор.

Как и в доказательстве теоремы 1, между простыми путями через все гаджеты переменных и присваиваниями значений всем переменным существует естественное взаимно-однозначное соответствие. Зафиксируем произвольный путь через гаджеты переменных, а значит, и некоторый соответствующий ему набор значений переменных. Покажем, что выбранный путь можно продолжить до вершины  $t$  без самопересечений если и только если выбранный набор значений переменных является выполняющим для  $\phi$ .

Рассмотрим любой гаджет дизъюнкта. Любой путь через него от вершины  $a$  до вершины  $b$  проходит через вершины  $g_1$ ,  $f_1$ ,  $g_2$  и  $f_2$ . Кроме того, любой самонепересекающийся путь по дизъюнкту проходит по рёбрам только одного цвета, а значит, проходит ровно через одно из рёбер  $e_1$ ,  $e_2$  или  $e_3$ . Это обеспечивается уже упомянутым свойством “двойной косы” о том, что любые разноцветные рёбра внутри неё пересекаются.

Из сказанного следует, что через гаджет дизъюнкта можно пройти без самопересечений тогда и только тогда, когда, во-первых, этот дизъюнкт истинен на выбранном наборе значений, и, во-вторых, можно пройти без самопересечений через все гаджеты потомков этого дизъюнкта.

Получается, что самонепересекающийся путь от  $s$  до  $t$  существует если и только если найдётся такой набор значений переменных, что корневые дизъюнкты истинны, их потомки истинны, потомки потомков тоже истинны, и так далее; но это как раз эквивалентно выполнимости формулы  $\phi$ .  $\square$

## Список литературы

- [1] Michael R. Garey and David S. Johnson. *Computers and Intractability: A Guide to the Theory of NP-Completeness*. W. H. Freeman & Co., New York, NY, USA, 1979. ISBN 0716710447.
- [2] D. Lichtenstein. Planar formulae and their uses. *SIAM Journal on Computing*, 11(2):329–343, 1982. doi: 10.1137/0211025. URL <http://epubs.siam.org/doi/abs/10.1137/0211025>.